

รายการอ้างอิง

ภาษาไทย

ชื่นจิตต์ พฤติภักร. 2528. การผลิตสารสกัดจากเบียร์ที่ได้จากโรงงานเบียร์. วิทยานิพนธ์ปริญญา
มหาบัณฑิต. กรุงเทพมหานคร. จุฬาลงกรณ์มหาวิทยาลัย.

วิวัฒน์ หวังเจริญ. 2535. การผลิตยีสต์օโตไอลสेटเพื่อใช้เป็นสารป้องแต่งกลิ่นรสอาหาร.
วิทยานิพนธ์ปริญญามหาบัณฑิต. กรุงเทพมหานคร. จุฬาลงกรณ์มหาวิทยาลัย.

ภาษาอังกฤษ

Akin, C., and Murphy, R.M. 1981. Method for accelerating autolysis of yeast. U.S. Patent 4,285,976.

Arnon, R., 1969. Papain. J. Biol. Chem. 3 : 226-244.

Burette, J., Champagne, C. P., and Goulet, J. 1999. The development of bacteria contamination
during the production of yeast extracts. Appl. Environ. Microbiol. 65 : 3261-3263.

Birch, G.C., Blakebrough, N, and Parker, K.J. 1981. Enzyme and Food Processing. Essex:
Applied Science Publishers.

Breddam, K., and Beenfeldt, T. 1991. Acceleration of yeast autolysis by chemical methods for
production of intracellular enzyme. Appl. Microbiol. Biotechnol. 35 : 323-329.

Brookman, J.S. 1974. Mechanism of cell disintegration in a high pressure homogenizer.
Biotech. and Bioeng. 16: 371-383.

Champagne, C. P., Burette, J., and Goulet, J. 1999. Interaction between pH, autolysis promoters
and bacterial contamination on the production of yeast extracts. Food. Res. Inter. 32 :
575-583.

Chao, K.C., McCarthy, E.F., and McConaghy, G.A. 1980. Yeast autolysis process.
U. S. Patent 4,218,481

Chatfield, C. 1970. Statistics For Technology : A course in applied statistics. New York : John
Wiley and Sons.

- Conway, J., Gaudreau H., and Champagne, C.P. 2001. The effect of the addition of proteases and glucanases during yeast autolysis on the production and properties of yeast extracts. *Can. J. Microbiol.* 47 : 18-24.
- Cunningham, S.D., Cater C.M., and Mattill, K.F. 1975. Rupture and protein extraction of petroleum-grown yeast. *J. Food. Sci.* 40 : 732-735.
- Fleet, G.H., and Manner, D.J. 1976. Isolation and composition of an alkali-soluble glucan from the cell walls of *Saccharomyces cerevisiae*. *J. Gen. Microbiol.* 97 : 180-191.
- Food and Nutrition Board. [Cited 8 May 1996]. Available from : <http://www.sciencedirect.com> [Oct 5, 2001]
- Fur, Y.L.F., Maume, G., Feuillat, M., and Maume, B.F. 1999. Characterization by gas chromatography/mass spectrometry of sterols in *Saccharomyces cerevisiae* during autolysis. *J. Agri. Food. Chem.* 47 : 2860-2864.
- Godfrey, T., and Reichelt, J. 1983. *Industrial Enzymology* . New York : Nature Press.
- Hayashi, R., Moore, S., and Stein, W.H. 1968. Carboxypeptidase from yeast. *J. Biol. Chem.* 248 (7) : 2296-2302.
- Hill , F.F. 1981. Process for the production of yeast autolysate. U.S. Patent 4,264,628.
- Hough, J.S., and Maddox, I.S. 1970. Yeast autolysis. *Process Biochem.* 5: 50-53.
- Knorr, D., Shetty, K.J., Hood, L.F., and Kinselin, J.E. 1979. An enzymatic method for yeast autolysis. *J. Food. Sci.* 44 : 1362 – 1365.
- Labell, F. 1993. Glutamates under the gun. *Food Process.* May, 39-45.
- Laouar, L., Lowe, K.C., and Mulligan, B.J. 1996. Yeast responses to nonionic surfactants. *Enz. and Microbial. Tech.* 18 : 433 – 438.
- Lowry, O.H., Rosebrough, N.J., Farr, A.L., and Randall, R.J. 1951. Protein measurement with the Folin- phenol reagents. *J. Biol. Chem.* 193 : 265-275.
- Moresi, M., Orban, E., Quaglia, G.B., and Irene, C. 1995. Effect of some physico-chemical treatments on the kinetics of autolysed-yeast extract production from whey. *J. Sci. Food. Agri.* 67 : 347 – 357.
- Newell, J.A., Suley, R.D., and Robbins, I.A. 1975. Mild alkaline extraction of homogenization cell. U.S. Patent 3,888,839.
- Ohly. [Cited May 1998] Available from : <http://www.Ohly.com>. [Oct 5, 2001]
- Origane, A., and Sato, T. 1993. Production of yeast extract. U.S. Patent 5,188,852.
- Peppler, H. J. 1970. *The Yeast*. vol.3. Academic Press. London .

- Reed, G., and Nagodawithana, T.W. 1991. Yeast Technology. 2nd ed. New York : Van Nostrand Reinhold.
- Reed, G., and Peppler, H.J. 1973. Yeast Technology. Westport, Connecticut : AVI Publishing Co. Inc., Westsport.
- Robbins, E.A., Sucher, R.W., Seeley, R.D., Sculdt, Jr., Newell, J.A., and Sidoti, D.R. 1975. Concentrated extract of yeast and process of making same. U.S. Patent 3,914,450.
- Rose, Anthony H., and Harrison, J.S. 1993. The Yeast. vol 5. Academic Press. London .
- Sommer, R. 1998. Yeast extract: production, properties and component. Food Australia. 50 : 181-183.
- Sugimoto, H., Takeuchi, H., and Yokosuka, T. 1976. Autolysis using sodium chloride and ethanol. U.S. Patent 3,961,080.
- Verduyn, C., Suksomcheep, A., and Suphantharika, M. 1999. Effect of high pressure homogenization and papain on the preparation of autolysed yeast extract. World. J. Microbiol. Biotechnol. 15 : 63 - 71.
- Wood, Brian J.B., and Laane, C. 1998. Microbiology of Fermented Foods. vol 2. Blackie Academic & Professional : London.
- Zhao, J., and Fleet, H.G. 2003. Degradation of DNA during the autolysis of *Saccharomyces cerevisiae*. J. Ind. Microbiol. Biotechnol. 30 : 175-182.

ภาคพนวก

ศูนย์วิทยทรัพยากร
จุฬาลงกรณ์มหาวิทยาลัย

ภาคผนวก ก.

การคำนวณ

1. วิธีการคำนวณหาแอคติวิตี้ของเอนไซม์

แอคติวิตี้ของเอนไซม์เป็นค่าที่บอกรถึงความสามารถในการทำงานของเอนไซม์ในการย่อยสารตั้งต้นให้เป็นผลิตภัณฑ์ โดยในการทดสอบคำนวณเป็นค่า casein digestion unit (CDU)

CDU หมายถึง ปริมาณเอนไซม์ที่สามารถย่อยเคซีนให้ได้ไทรอชีนซึ่งอยู่ในอัตราเท่ากับไทรอชีน 1 ไมโครกรัม ภายใน 1 นาที ภายใต้ภาวะที่ใช้ทดสอบ

$$\text{แอคติวิตี้ของเอนไซม์} = \frac{\text{O.D.}_{280} \times \text{ค่าการเจือจาง} \times \text{ปริมาตรสุดท้ายในการทดสอบ}}{\text{เวลาที่ใช้ในการบ่มระหว่างการทดสอบ (10 นาที)}}$$

โดย O.D.₂₈₀ คือ ปริมาณโปรตีนที่วัดได้จากการวัดค่าดูดกลืนแสงที่ความยาวคลื่น 280 นาโนเมตร โดยเปรียบเทียบกับกราฟมาตรฐาน (ภาคผนวก ค-1)

2. วิธีการคำนวณหาปริมาณโปรตีน

ในการทดสอบได้ใช้ปริมาณโปรตีนเป็นค่าบ่งชี้ถึงความสามารถในการย่อยตัวเองของยีสต์ซึ่งทำการวิเคราะห์ด้วยวิธีลาร์วี

$$\text{ปริมาณโปรตีน*} = \frac{\text{O.D.}_{600}(\text{กรัมต่อลิตร}) \times \text{ค่าการเจือจาง} \times \text{ปริมาตรสุดท้ายในการทดสอบ(มล.)}}{\text{น้ำหนักเซลล์แห้ง(กรัม)}}$$

โดย O.D.₆₀₀ คือ ปริมาณโปรตีนที่วัดได้จากการวัดค่าดูดกลืนแสงที่ความยาวคลื่น 600 นาโนเมตร โดยเปรียบเทียบกับกราฟมาตรฐาน (ภาคผนวก ค-2)

จากการคำนวณจะได้ปริมาณโปรตีนมีหน่วยเป็นมิลลิกรัมต่อกิโลเซลล์แห้ง

3. วิธีการคำนวณหาปริมาณโปรตีนในสารสกัดจากยีสต์

ในการทดสอบได้ทำการเร่งการย่อยสลายในการทดสอบขนาดน้ำร่อง 4.5 ลิตร เพื่อยืนยันผลการทดสอบ จากนั้นนำอบแห้งแบบพ่นฟอย (spray dry) เพื่อให้ได้สารสกัดจากยีสต์ โดยสารสกัดจากยีสต์ที่ได้มีน้ำหนัก 376.43 กรัม ซึ่งเมื่อหาปริมาณในโตรเจนพบว่ามี 4.40 % และเมื่อวัด

ค่าปริมาณเกลือ พนวจมี 55 % ของน้ำหนักสารสกัดจากยีสต์ นำข้อมูลจากการทดลองที่ได้มาทำ การคำนวณโดย

คำนวณปริมาณโปรตีน

$$\begin{array}{ll} \text{สารสกัดจากยีสต์} & 100 \text{ กรัม} \\ \text{คือ} & \text{สารสกัดจากยีสต์} 100 \text{ กรัม} \quad \text{มีปริมาณในไตรเจน} 4.40 \text{ กรัม} \\ \text{ดังนั้น} & \text{สารสกัดจากยีสต์} 376.43 \text{ กรัม} \quad \text{มีปริมาณโปรตีน} 6.25 \times 4.40 = 27.50 \text{ กรัม} \\ & \quad \text{จะมีปริมาณโปรตีน} \frac{376.43 \times 27.50}{100} = 103.52 \text{ กรัม} \end{array}$$

คำนวณปริมาณเกลือ

$$\begin{array}{ll} \text{สารสกัดจากยีสต์} & 100 \text{ กรัม} \quad \text{มีปริมาณเกลือ} 55 \text{ กรัม} \\ \text{คือ} & \text{สารสกัดจากยีสต์} 376.43 \text{ กรัม} \quad \text{จะมีปริมาณเกลือ} \frac{376.43 \times 55}{100} = 207.04 \text{ กรัม} \end{array}$$

ดังนั้น สารสกัดจากยีสต์ 376.43 กรัม จะมีปริมาณของแข็ง $376.43 - 207.04 = 169.39$ กรัม

คำนวณหาปริมาณโปรตีนต่อของแข็งในสารสกัดจากยีสต์

$$\begin{array}{ll} \text{ปริมาณของแข็งในสารสกัดจากยีสต์} & 169.39 \text{ กรัม} \quad \text{มีปริมาณโปรตีน} 103.52 \text{ กรัม} \\ \text{ถ้า} & \text{ปริมาณของแข็งในสารสกัดจากยีสต์} 100 \text{ กรัม} \quad \text{มีปริมาณโปรตีน} \frac{103.52 \times 100}{169.39} \\ & \quad = 61.11 \text{ กรัม} \end{array}$$

ดังนั้น มีโปรตีน 61.11 % ของสารประกอบของแข็งในสารสกัดจากยีสต์

ศูนย์วิทยทรัพยากร
จุฬาลงกรณ์มหาวิทยาลัย

ภาคผนวก ฯ.

การเตรียมสารเคมีที่ใช้ในการวิจัย

1. การเตรียมบัฟเฟอร์

1.1 ชิเตറตฟอสเฟตบัฟเฟอร์

สารละลายน้ำที่เตรียม

1.1.1 สารละลายน้ำ ก. เตรียมสารละลายน้ำกรดซิตริกความเข้มข้น 0.10 โมลาร์ โดยละลายน้ำกรดซิตริก 21.01 กรัม ในน้ำประสาจากไออกอนแล้วปรับปริมาตรให้ได้ 1000 มิลลิลิตร

1.1.2 สารละลายน้ำ ข. เตรียมสารละลายน้ำโซเดียมไโซโครเจนฟอสเฟตความเข้มข้น 0.2 โมลาร์ โดยละลายน้ำโซเดียมไโซโครเจนฟอสเฟต ($\text{Na}_2\text{HPO}_4 \cdot 7\text{H}_2\text{O}$) 53.65 กรัม ในน้ำประสาจากไออกอนแล้วปรับปริมาตรให้ได้ 1000 มิลลิลิตร

เตรียมบัฟเฟอร์ที่ค่าความเป็นกรดด่าง (pH) ต่างๆ โดย ผสมสารละลายน้ำ ก. และ ข. ใน แล้วปรับปริมาตรให้ได้ 100 มิลลิลิตร

ตาราง ฯ-1.1 แสดงอัตราส่วนการผสมชิเตറตฟอสเฟตบัฟเฟอร์ที่ค่าความเป็นกรดด่างต่างๆ

pH	สารละลายน้ำ ก. (มิลลิลิตร)	สารละลายน้ำ ข. (มิลลิลิตร)
4.2	29.4	20.6
4.4	27.8	22.2
4.6	26.7	23.3
4.8	25.2	24.8
5.0	24.3	25.7
5.2	23.3	26.7
5.4	22.2	27.8
5.6	21.0	29.0
5.8	19.7	30.3
6.0	17.9	32.1
6.2	16.9	33.1
6.4	15.4	34.6

ตารางที่ ข-1.1 (ต่อ) แสดงอัตราส่วนการผสมอะซิเตตบัฟเฟอร์ที่ค่าความเป็นกรดค่างต่างๆ

pH	สารละลายน ก. (มิลลิลิตร)	สารละลายน ข. (มิลลิลิตร)
6.6	13.6	36.4
6.8	9.1	40.9
7.0	6.5	43.6

1.2 อะซิเตตบัฟเฟอร์

สารละลายนี้เตรียม

1.2.1 สารละลายน ก. เตรียมสารละลายนี้โดยความเข้มข้น 0.20 โมลาร์ โดยปีเปตต์กรดอะซิติก 11.55 มิลลิลิตร ในน้ำประจําจากไอก้อนแล้วปรับปริมาตรให้ได้ 1000 มิลลิลิตร

1.2.2 สารละลายน ข. เตรียมสารละลายนี้โดยเดี่ยมอะซิเตตความเข้มข้น 0.20 โมลาร์ โดยโซเดียมอะซิเตต 16.4 กรัม ในน้ำประจําจากไอก้อนแล้วปรับปริมาตรให้ได้ 1000 มิลลิลิตร

เตรียมบัฟเฟอร์ที่ค่าความเป็นกรดค่าง (pH) ต่างๆ โดย ผสมสารละลายน ก. และ ข. ในแล้วปรับปริมาตรให้ได้ 100 มิลลิลิตร

ตารางที่ ข-1.2 แสดงอัตราส่วนการผสมอะซิเตตบัฟเฟอร์ที่ค่าความเป็นกรดค่างต่างๆ

pH	สารละลายน ก. (มิลลิลิตร)	สารละลายน ข. (มิลลิลิตร)
4.2	36.8	13.2
4.4	30.5	19.5
4.6	25.5	24.5
4.8	20.0	30.0
5.0	14.8	35.2
5.2	10.5	39.5
5.4	8.8	41.2

1.3 ฟอสเฟตบัฟเฟอร์

สารละลายน้ำที่เตรียม

1.3.1 สารละลาย ก. เตรียมสารละลายน้ำโซเดียมไนโตรเจนฟอสเฟตความเข้มข้น 0.2 โมลาร์ โดยละลายน้ำโซเดียมไนโตรเจนฟอสเฟต 27.8 กรัม ในน้ำประปาจากไออกอนแล้วปรับปริมาตรให้ได้ 1000 มิลลิลิตร

1.3.2 สารละลาย ข. เตรียมสารละลายน้ำโซเดียมไนโตรเจนฟอสเฟตความเข้มข้น 0.2 โมลาร์ โดยละลายน้ำโซเดียมไนโตรเจนฟอสเฟต ($\text{Na}_2\text{HPO}_4 \cdot 7\text{H}_2\text{O}$) 53.65 กรัม ในน้ำประปาจากไออกอนแล้วปรับปริมาตรให้ได้ 1000 มิลลิลิตร

เตรียมบัฟเฟอร์ที่ค่าความเป็นกรดค่าง (pH) ต่างๆ โดย ผสมสารละลาย ก. และ ข. ในแล้วปรับปริมาตรให้ได้ 100 มิลลิลิตร

ตาราง ข-1.3 แสดงอัตราส่วนการผสมฟอสเฟตบัฟเฟอร์ที่ค่าความเป็นกรดค่างต่างๆ

pH	สารละลาย ก. (มิลลิลิตร)	สารละลาย ข. (มิลลิลิตร)
5.7	93.5	6.5
5.8	92.0	8.0
5.9	90.0	10.0
6.0	87.7	12.3
6.1	85.0	15.0
6.2	81.5	18.5
6.3	77.6	22.5
6.4	73.5	26.5
6.5	68.5	31.5
6.6	62.5	37.5
6.7	56.5	43.5
6.8	51.0	49.0
6.9	45.0	55.0
7.0	39.0	61.0
7.1	33.0	67.0

ตารางที่ ข-1.3 (ต่อ) แสดงอัตราส่วนการผสมฟอสเฟตบัฟเฟอร์ที่ค่าความเป็นกรดค่าคงตัวๆ

pH	สารละลายน ก. (มิลลิลิตร)	สารละลายน ข. (มิลลิลิตร)
7.2	28.0	72.0
7.3	23.0	77.0
7.8	8.5	91.5
7.9	7.0	93.0
8.0	5.3	94.7

2. การเตรียมสารละลายน ที่ใช้ในการวิเคราะห์ปริมาณโดยวิธีลาร์วี

2.1 สารละลายน ก. ละลายนโซเดียมคาร์บอนเนต 2 กรัม ในสารละลายน 0.1 นอร์มัลของโซเดียมไฮดรอกไซด์ แล้วปรับปริมาตรให้ได้ 100 มิลลิลิตร

2.2 สารละลายน ข. ละลายนโซเดียมโพแทสเซียมทาร์เทต 2.7 กรัม ในน้ำปราศจากไออกอน แล้วปรับปริมาตรให้ได้ 100 มิลลิลิตร

2.3 สารละลายน ค. ละลายนโคปเปอร์ชัลเฟต 1 กรัมในน้ำปราศจากไออกอนแล้วปรับปริมาตรให้ได้ 100 มิลลิลิตร

2.4 สารละลายน ง. นำสารละลายน ก. 98 มิลลิลิตร ผสมกับสารละลายน ข. 1 มิลลิลิตร และสารละลายน ค. 1 มิลลิลิตร (เตรียมเมื่อทำการทดลองเท่านั้น)

2.5 สารละลายนโพลิน (Folin-Ciocalteu reagent) ปฏิปฏต์สารละลายนโพลิน (2 นอร์แมล) มาทำการเจือจางในน้ำอัตราส่วน 1 ต่อ 1 เพื่อให้ได้สารละลายนโพลินความเข้มข้น 1 นอร์แมล (เตรียมเมื่อทำการทดลองเท่านั้น)

3. การเตรียมสารละลายน ที่ใช้ในการวิเคราะห์ปริมาณในตอรเจน

3.1 ของผสมของเกลือ (salt mixture) ประกอบด้วย โพแทสเซียมชัลเฟต (K_2SO_4) 5 กรัม และ โคปเปอร์ชัลเฟต ($CuSO_4 \cdot 5H_2O$) 5 กรัม

3.2 อินดิเคเตอร์ผสม (mixed indicator) ละลายนเมทธิลред (methyl red) และเมทิลีนบลู (methylene blue) อย่างละ 0.1 กรัมในเอทานอลเข้มข้น ร้อยละ 95 ปริมาตร 150 มิลลิลิตร

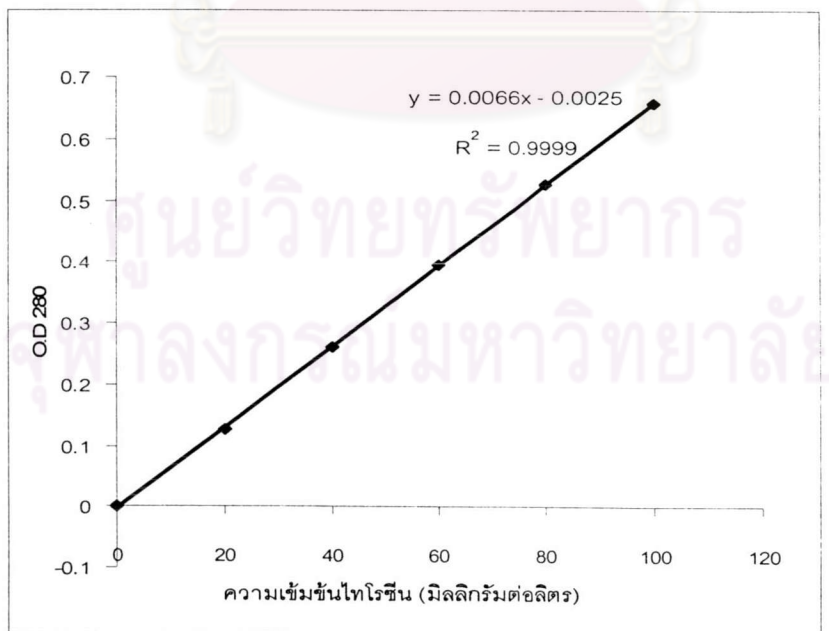
ภาคผนวก ค.

กราฟมาตรฐาน

1. กราฟมาตรฐานของไทโรซีน

ตารางที่ ค-1 ความสัมพันธ์ระหว่างความเข้มข้นของไทโรซีนกับค่าการดูดกลืนแสง
ที่ 280 นาโนเมตร

ความเข้มข้นของไทโรซีน (มิลลิกรัมต่อลิตร)	ค่าการดูดกลืนแสงที่ 280 นาโนเมตร
0	0
20	0.126
40	0.261
60	0.395
80	0.527
100	0.657

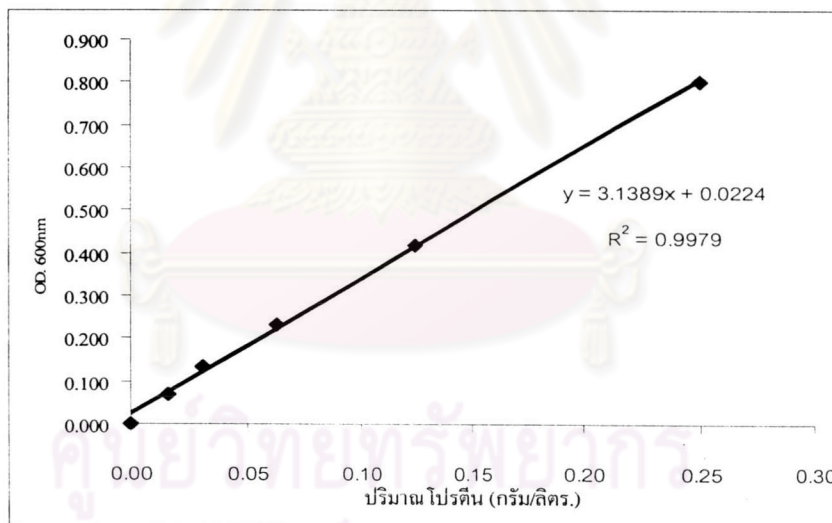


รูปที่ ค-1 กราฟมาตรฐานของไทโรซีน ในช่วงความเข้มข้น 0.0 – 100 มิลลิกรัมต่อลิตร

2. กราฟมาตราฐานของโปรตีน (BSA)

ตารางที่ ค-2 ความสัมพันธ์ระหว่างความเข้มข้นของโปรตีน BSA กับค่าการดูดกลืนแสงที่ 600 นาโนเมตร

ความเข้มข้นของโปรตีน BSA (กรัมต่อลิตร)	ค่าการดูดกลืนแสงที่ 600 นาโนเมตร
0.000	0.000
0.015	0.070
0.030	0.135
0.060	0.230
0.125	0.420
0.250	0.800



รูปที่ ค-2 กราฟมาตราฐานของโปรตีน BSA ในช่วงความเข้มข้น 0.0 – 0.25 กรัมต่อลิตร

จากการมาตราฐานสำหรับปริมาณโปรตีนมีค่าสหสัมพันธ์ = 0.9979

ค่าความชัน = 3.1389

จุดตัดแกน Y = 0.0224

ดังนั้นปริมาณโปรตีน = ค่าการดูดกลืนแสงที่ 600 นาโนเมตร x 1/ความชัน x ความเจือจาง

ภาคผนวก ๔.

**เปรียบเทียบอิทธิพลของการเติมสารเคมีต่อปริมาณโปรดีนในเยลล์อโต้ไลส์ตโดย
Yate's method (Chatfield และ คณะ, 1970)**

ตารางที่ ง-1 เปรียบเทียบอิทธิพลของการเติมโซเดียมคลอไรด์ 2.5% เอทานอล 2.5% และการเติมโซเดียมคลอไรด์ 2.5% ร่วมกับเอทานอล 2.5%

การทดลอง	โซเดียมคลอไรด์ 2.5%	เติมเอทานอล 2.5%	ปริมาณโปรดีน
1	-	-	162.80
2	-	+	193.24
3	+	-	183.11
4	+	+	179.53

เครื่องหมาย + แสดงว่ามีการเติมสารเคมี

เครื่องหมาย - แสดงว่าไม่มีการเติมสารเคมี

อิทธิพลของการเติมโซเดียมคลอไรด์ 2.5% คำนวณจาก $(179.53+183.11)-(162.80+193.24) = 6.60$

อิทธิพลของการเติมเอทานอล 2.5% คำนวณจาก $(193.24+179.53)-(183.11+162.80) = 26.86$

อิทธิพลของการเติมโซเดียมคลอไรด์ 2.5% ร่วมกับเอทานอล 2.5%

คำนวณจาก $(162.80+179.53)-(183.11+193.24) = -34.02$

ตารางที่ ง-2 เปรียบเทียบอิทธิพลของการเติมโซเดียมคลอไรด์ 5.0% เอทานอล 5.0% และการเติมโซเดียมคลอไรด์ 5.0% ร่วมกับเอทานอล 5.0%

การทดลอง	โซเดียมคลอไรด์ 5.0%	เอทานอล 5.0%	ปริมาณโปรตีน
1	-	-	162.80
2	-	+	249.49
3	+	-	192.67
4	+	+	251.48

เครื่องหมาย + แสดงว่ามีการเติมสารเคมี

เครื่องหมาย - แสดงว่าไม่มีการเติมสารเคมี

อิทธิพลของการเติมโซเดียมคลอไรด์ 5.0% คำนวณจาก $(192.67+251.48)-(162.80+249.49) = 31.86$

อิทธิพลของการเติมเอทานอล 5.0% คำนวณจาก $(249.49+251.48)-(162.80+192.67) = 145.50$

อิทธิพลของการเติมโซเดียมคลอไรด์ 5.0% ร่วมกับเอทานอล 5.0%

คำนวณจาก $(162.80+251.48)-(192.67+249.49) = -27.88$

ตารางที่ ง-3 เปรียบเทียบอิทธิพลของการเติมโซเดียมคลอไรด์ 7.5% เอทานอล 7.5% และการเติมโซเดียมคลอไรด์ 7.5% ร่วมกับเอทานอล 7.5%

การทดลอง	โซเดียมคลอไรด์ 7.5 %	เอทานอล 7.5 %	ปริมาณโปรตีน*
1	-	-	162.80
2	-	+	254.14
3	+	-	198.89
4	+	+	267.12

เครื่องหมาย + แสดงว่ามีการเติมสารเคมี

เครื่องหมาย - แสดงว่าไม่มีการเติมสารเคมี

อิทธิพลของการเติมโซเดียมคลอไรด์ 7.5 % คำนวณจาก $(198.89+267.12)-(162.80+254.14) = 49.07$

อิทธิพลของการเติมเอทานอล 7.5 % คำนวณจาก $(254.14+267.12)-(162.80+198.89) = 159.57$

อิทธิพลของการเติมโซเดียมคลอไรด์ 7.5 % ร่วมกับเอทานอล 7.5 %

คำนวณจาก $(162.80+267.12)-(198.89+254.14) = -23.11$

ตารางที่ ง-4 เปรียบเทียบอิทธิพลของการเติมโซเดียมคลอไรด์ 10.0% เอทานอล 10.0% และการเติมโซเดียมคลอไรด์ 10.0% ร่วมกับเอทานอล 10.0%

การทดลอง	โซเดียมคลอไรด์ 10.0%	เอทานอล 10.0%	ปริมาณโปรตีน
1	-	-	162.80
2	-	+	203.82
3	+	-	185.96
4	+	+	188.53

เครื่องหมาย + แสดงว่ามีการเติมสารเคมี

เครื่องหมาย - แสดงว่าไม่มีการเติมสารเคมี

อิทธิพลของการเติมโซเดียมคลอไรด์ 10.0% คำนวณจาก $(185.96+188.53)-(162.80+203.82) = 7.87$

อิทธิพลของการเติมเอทานอล 10.0% คำนวณจาก $(203.82+188.53)-(162.80+185.96) = 43.59$

อิทธิพลของการเติมโซเดียมคลอไรด์ 10.0% ร่วมกับเอทานอล 10.0%

คำนวณจาก $(162.80+188.53)-(185.96+203.82) = -38.45$

ศูนย์วทยทรพยากร
จุฬาลงกรณ์มหาวิทยาลัย

ประวัติผู้เขียนวิทยานิพนธ์

นางสาววรรณกร เดื่งชัยเชวง เกิดวันที่ 29 มกราคม พ.ศ. 2522 ที่จังหวัดกรุงเทพ
สำเร็จการศึกษาระดับปริญญาตรีวิทยาศาสตรบัณฑิต (ชีวเคมีและชีวเคมีเทคโนโลยี) คณะ
วิทยาศาสตร์ มหาวิทยาลัยเชียงใหม่ ในปีการศึกษา 2542 จากนั้นเข้าศึกษาต่อในหลักสูตร
วิทยาศาสตร์มหบัณฑิต สาขาเทคโนโลยีชีวภาพ คณะวิทยาศาสตร์ จุฬาลงกรณ์มหาวิทยาลัย
ในปีการศึกษา 2543

